

ناهمسانگردی و قطبیدگی مدهای طولی لیزر هلیوم-نئون

حمیدرضا شیروانی مهدوی
کارشناسی ارشد (مربی)
گروه فیزیک، دانشگاه آزاد واحد تهران

سیده زهرا شورشینی
کارشناسی ارشد (مربی)
گروه فیزیک، دانشگاه الزهراء

چکیده

چنانکه می‌دانیم قطبیدگی نور لیزر هلیوم-نئون بدون پنجره بروستر، نامنظم و به صورت بیضی‌ای است که پارامترهای آن در حال تغییر است. آنچه از نظر می‌گذرد شامل بررسی نظری و تجربی است که در آن خواص قطبیدگی مدهای طولی لیزر هلیوم-نئون به طور دقیق تر مورد مطالعه قرار می‌گیرد. نشان خواهیم داد که به دلیل ناهمسانگردی موجود در آینه‌های لیزر قطبیدگی مدهای طولی لیزر هلیوم-نئون اولاً خطی هستند، ثانیاً قطبیدگی مدهای متواالی برهم عمودند. برای اثبات تجربی این موضوع ابتدا تغییرات شدت در راستاهای برگزیده را مورد بررسی قرار داده و سپس با ارائه دو روش، محورهای برگزیده ناهمسانگردی لیزر را اندازه می‌گیریم.

Anisotropy and Polarization of Longitudinal modes of He - Ne Laser

Z. Shoorsheini

Instructor

Faculty of Physics, Alzahra University

H. R. Shirvani Mahdavi

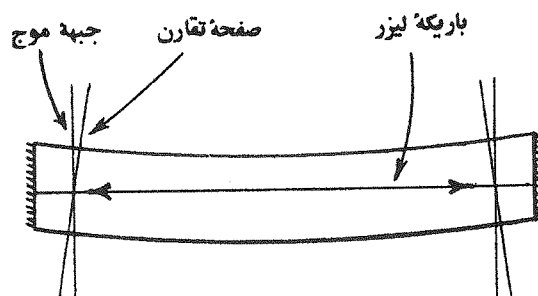
Instructor

Faculty of Physics, Islamic Azad University

Abstract

As is known, the polarization of He-Ne laser without Brewster window is irregular and as an ellipsoid that its parameters change. This paper provides experimental and theoretical studies, in which polarization properties of longitudinal modes of He-Ne laser are investigated exactly. We will prove that because of the anisotropy in the laser mirrors, the longitudinal modes of laser are linearly polarized and the azimuths of Polarization of adjacent longitudinal modes are at right angles to each other. To practically clarify this problem, at first the intensity fluctuations for the principle axes are studied and then, in two ways, the principle axes of anisotropy is measured.

به طوری که با وجود این تغییر شکل، شرط نوسان لیزر برقرار باشد (شکل ۲). جهت و میزان خم های به وجود آمده لزوماً یکی نیستند. هر خم دارای یک صفحه تقارن است که دو طرف خم نسبت به آن صفحه، متقارن هستند. اکنون نکته قابل توجه این است که تقاطع هر صفحه تقارن با مقطع باریکه لیزر (جبهه موج)، خطی است که توزیع فضایی میدان الکتروستاتیک حول آن متقارن است. بنابراین می توان گفت که ارتعاشات برگزیده ای برای میدان نوری در این دو راستا وجود دارد. در حالت کلی این دو محور در یک راستا نیستند.



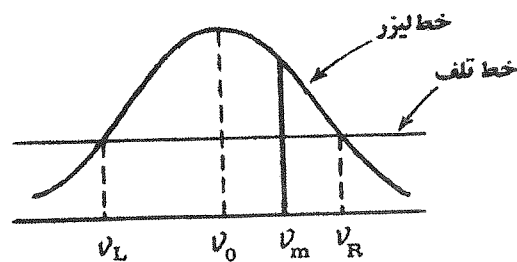
شکل (۲)

امروزه در اغلب لیزرهای ناهمسانگردی ناشی از مکان الکترودها و نامتقارنی لوله لیزر، به دلیل استفاده از الکترودهای حلقوی و نیز تدبیر لازم دیگر، به حداقل رسیده است. بنابر این در چنین لیزرهایی، ناهمسانگردی به طور جدی به آینه ها مربوط می شود [۲]. این آینه ها معمولاً با نشاندن لایه های دی الکتریک روی یک سطح اپتیکی تخت یا کروی از یک ماده شفاف به عنوان زیرنہشت، ساخته می شوند.

علت ناهمسانگردی آینه های لیزر، دو شکستی موجود در زیرنہشت و نیز لایه های روی آن است [۲]. در بیشتر موادی که به عنوان زیرنہشت به کار می روند، ضریب شکست، در غیاب هر نوع تنفسی، مستقل از قطبیدگی و جهت انتشار نور است. اما دو نوع تنفس وجود دارد که موجب دو شکستی در این مواد می شوند (تنفس تقارن کروی را به هم می زند).

۱ - تنفس ذاتی که معمولاً در طی فرآیند ساخت و انجام داد (به عنوان مثال به دلیل سرعت محدود سرگذشتگی ماده)، به وجود می آید. بنابراین در انواع قطعات اپتیکی حتی شیشه بسیار خوب، یک دو شکستی در اثر این نوع تنفس داریم.

هرگاه مدعی از مدهای کاواک تشیدید یک لیزر، در ناحیه ای از شکل خط که بهره از تلف بیشتر است قرار گیرد، یعنی $v_R < v_m < v_L$ (شکل ۱)، نوسان لیزری در آن مدانجام می شود. اکنون بسته به اینکه یک، دو یا چند مدنوسانی داشته باشیم، لیزر را لیزر یک مدعی، دو مدعی و یا چند مدعی می نامند. از آنجا که میدان هر مد لیزر شبه تکفام است، در مرحله اول به نظر می رسد که قطبیدگی هر مد به صورت بیضی است که پارامترهای آن مرتب در حال تغییر هستند [۱] و بنابراین یک قطبیدگی نامنظم و به اصطلاح تصادفی خواهیم داشت. اما در واقع چنین نیست. آنچه در عمل مشاهده و اندازه گیری می شود این است که اولاً قطبیدگی هر مد خطی است و ثانياً قطبیدگی مدهای متوالی بر هم عمودند.



شکل (۱)

از نظر فیزیکی می توان گفت که این اثر ناشی از ناهمسانگردی سیستم لیزر است که در لیزرهای گازی به عوامل مختلفی از جمله «نامتقارنی ناشی از مکان الکترودها»، «نامتقارنی لوله لیزر»، و «ناهمسانگردی آینه های لیزر» بستگی دارد.

اگر الکترودهای لیزر به شکل نامتقارنی در دو سر لیزر وصل شده باشند، در این صورت توزیع فضایی میدان الکتریکی ناشی از ولتاژ بین دو الکترود (میدان الکتروستاتیک)، در داخل لوله لیزر متقارن نیست و بنابراین قطبیدگی اتم ها در داخل کاواک تشیدید نیز متقارن خواهد بود که این خود موجب یک نوع ناهمسانگردی است.

برای درک ناهمسانگردی در اثر نامتقارنی لوله لیزر، حالت خاصی را بررسی می کنیم که در اکثر مواقع با توجه به شرایط عملی پیش می آید. فرض کنید لوله لیزر کاملاً متقارن باشد و تنها به دلیل نیروهای جزئی ای که به دو سر لیزر (به عنوان مثال به دلیل وزن آن) وارد می شود، خم های ناچیزی در دو انتهای لوله ایجاد شود،

$$r_y = |r_y| \exp [i(\pi - \beta_y)] , \quad r_{y'} = |r_{y'}| \exp [i(\pi - \beta_{y'})]$$

$$r_x = |r_x| \exp [i(\pi - \beta_x)] , \quad r_{x'} = |r_{x'}| \exp [i(\pi - \beta_{x'})]$$

$\beta_x, \beta_y, \beta_{x'}, \beta_{y'}$ نشان می‌دهند که تأثیر فاز ایجاد شده در میدان الکتریکی پس از بازتابش از محیط چگالتر (آینه)، دقیقاً 180° نیست، بلکه مقداری با آن تفاوت دارد. در مورد یک محیط ناهمسانگرد اولاً این اختلاف در دوراستای برگزیده یکسان نیست، که به معنی وجود ناهمسانگردی از نوع فاز است. ثانیاً قدر مطلق ضرایب دامنه بازتابش نیز در این دو راستا، می‌توانند متفاوت باشند، که در این صورت ناهمسانگردی از نوع تلف نیز وجود دارد [۳]. بنابر این با توجه به این ملاحظات می‌توان نوشت:

$$r_y / r_x = \exp(i\Psi_1) = r_1 , \quad r_{y'} / r_{x'} = \exp(i\Psi_2) = r_2$$

که Ψ_1 و Ψ_2 مختلط هستند و به صورت زیر تعریف می‌شوند:

$$\Psi_1 = \beta_x - \beta_y + i \ln(|r_x / r_y|) = \beta_1 + i l_1$$

$$\Psi_2 = \beta_{x'} - \beta_{y'} + i \ln(|r_{x'} / r_{y'}|) = \beta_2 + i l_2$$

اگر Ψ_1 و Ψ_2 تماماً حقیقی یا تماماً موهومی باشند، ناهمسانگردی از نوع فاز، یا از نوع تلف خواهد بود. اکنون حالت قطبیدگی یک موج رونده فرودی را روی آینه M_1 بررسی می‌کنیم. مؤلفه‌های میدان الکتریکی این موج را در دو امتداد برگزیده x, E_x و y, E_y با نشان می‌دهیم. از شرط «حالات پایا» برای یک موج نوسان کننده در کاوک تشید، لزوماً باید قطبیدگی موج، قبل و بعد از یک رفت و برگشت کامل در درون کاوک، یکسان باشد. بنابر این، و با استفاده از نمایش جونز می‌توان نوشت [۴]:

$$M \begin{bmatrix} E_x \\ E_y \end{bmatrix} = \lambda \begin{bmatrix} E_x \\ E_y \end{bmatrix} \quad (1)$$

که λ مقدار ویژه و M ماتریس مشخصه قطبیدگی مدد است، که به صورت زیر به دست می‌آید:

$$M = \begin{bmatrix} \cos \alpha & -\sin \alpha \\ \sin \alpha & \cos \alpha \end{bmatrix} \begin{bmatrix} r_x & 0 \\ 0 & r_y \end{bmatrix} \begin{bmatrix} \cos \alpha & \sin \alpha \\ -\sin \alpha & \cos \alpha \end{bmatrix} \begin{bmatrix} r_x & 0 \\ 0 & r_y \end{bmatrix} \quad (4)$$

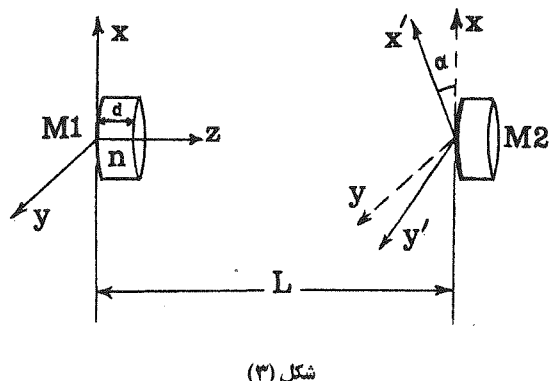
$$(3) \quad (2) \quad (1)$$

۲- تنش حرارتی که در اثر گرمای ناشی از جذب قسمتی از نور لیزر به وسیله زیرنهشت، و نیز تغییر دمای آن در اثر تغییر دمای محیط به طور غیریکنواخت، ایجاد می‌شود. این نوع تنش در بیشتر مواقع ماده را از شکل طبیعی خود خارج می‌کند.

علاوه بر زیرنهشت در لایه‌های دی الکتریک نیز دو نوع دو شکستی ذاتی و حرارتی وجود دارد. در عمل با توجه به محدودیت‌های موجود در دقت کار، علاوه بر آنکه هیچگاه ضخامت لایه‌ها به طور دقیقاً $1/4$ نمی‌شود، در جاهای مختلف سطح نیز، این ضخامت یکسان نیست. در نتیجه مؤلفه‌های بازتابیده میدان الکتریکی (در راستاهای مختلف) از سطح‌های مپانی، کاملاً هم فاز نیستند. بنابراین در یک راستا، تأثیر فاز ایجاد شده در میدان الکتریکی پس از بازتابش از آینه، Λ و در راستایی دیگر Λ' است. دو شکستی که به این صورت به وجود می‌آید را ذاتی می‌گویند. از طرف دیگر حرارت در لایه‌ها، موجب کرنش هر لایه می‌شود که خود می‌تواند دلیلی بر دو شکستی باشد. در واقع می‌توان گفت دلیل اصلی دو شکستی لایه‌ها تغییر شکل آنها در اثر تغییر شکلی است که در زیر نهشت به دلیل جذب انرژی گرمایی به وجود می‌آید. زیرا ضخامت زیرنهشت در مقایسه با لایه‌ها بسیار زیادتر و بنابر این جذب نور لیزر در این ناحیه بیشتر است.

۲- بررسی نظری

شکل (۳) ترکیب ساده‌ای از کاوک یک لیزر را نشان می‌دهد. فرض کنید هر دو آینه M_1 و M_2 ناهمسانگرد هستند. محورهای برگزیده آینه M_1 و آینه M_2 را x, y, z و x', y', z' در نظر می‌گیریم و زاویه بین x, x' را با α نشان می‌دهیم. اگر $r_x, r_y, r_{x'}, r_{y'}$ ضرایب دامنه بازتابش آینه‌های M_1 و M_2 باشند، داریم:



رابطه اخیر نشان می دهد که قطبیدگی مد بر حسب آنکه k حقیقی یا مختلط باشد، خطی یا بیضی شکل است. از طرف دیگر تجربه نشان می دهد که تلفات در راستای محورهای اصلی ناهمسانگردی هر آینه، یکسان بوده و بنابر این k حقیقی، و در نتیجه قطبیدگی مد، خطی است. به این ترتیب معادله (۳) دو قطبیدگی خطی را برای میدان الکتریکی معرفی می کند، که سمت های (۰) آنها عبارتند از:

$$\theta_{+, -} = \tan^{-1} (E_y / E_x)_{+, -} \quad (4)$$

که با استفاده از معادله (۳) به سادگی می توان دید که:

$$\tan \theta_{+} \times \tan \theta_{-} = (E_y / E_x)_{+} (E_y / E_x)_{-} = -1 \quad (5)$$

$$\rightarrow \theta_{+} - \theta_{-} = 90^\circ$$

لذا می توان نتیجه گرفت که میدان الکتریکی مدهای کاواک تشديد، تنها در دو راستای کاملاً مشخص و عمود بر هم، ارتعاش خواهد کرد. در نتیجه اگر در کاواک تشديد لیزری، بیش از دو مد طولی قادر به نوسان باشند، قطبیدگی مدهای بعدی نیز، به طور یک در میان در همین دو راستای مشخص قرار می گیرند. گفتنی است دو راستای تعیین شده توسط رابطه (۴) دقیقاً جهت محورهای ناهمسانگردی مؤثر کل لیزر را نشان می دهند.

۳- بررسی تجربی

لیزر مورد استفاده در این پژوهش یک لیزر هلیوم- نئون با آینه های چسبیده بدون پنجره بروستر است که طول کاواک آن $L = 21.8 \text{ cm}$ ، توان خروجی آن در بهترین حالت حدود 2 mW و فاصله بین مدهای طولی متواتی آن $\Omega = \frac{c}{2L} = 686 \text{ MHz}$ می باشد. نکته مهمی که در مورد این لیزر باید معلوم می شد، تعداد مدهای طولی آن بود. در ابتدا با توجه به پهنای خط لیزر (حدود $\Delta v = 1.5 \text{ GHz}$)، و مقدار Ω ، به نظر می رسد که تعداد مدهای طولی را به سادگی می توان به دست آورد. ولی باید دقت کرد که پهنای فرکانسی که در آن نوسان لیزر می تواند رخ دهد، با پهنای خط لیزر یکی نیست، بلکه با توجه به جای خط تلف در روی خط لیزر تعیین می شود [۵] و برابر است با $v_L - v_R = \Delta v$ (شکل ۱). از طرف دیگر مقدار اتلاف به

ماتریس (۱) پس از برخورد موج با آینه M_1 و با توجه به اثر بازنگش آن، نوشته شده است. اما جهت موج بعد از برخورد موج با آینه M_1 ، عوض می شود و پس از رسیدن به آینه دوم، میدان الکتریکی موج، روی جهت های x' , y' تصویر می شود (ماتریس ۲). سپس از روی آینه M_2 نیز باز می تابد (اثر ماتریس ۳) و در نهایت بار دیگر به آینه M_1 با جهت های x , y می رسد (اثر ماتریس ۴). رابطه (۱) یک معادله ویژه مقدار است که با حل آن دو مقدار ویژه و دوتابع ویژه به صورت زیر به دست می آید:

$$\lambda_{+, -} = (1/2) r_x' r_x [(1 + r_1 r_2) \cos^2 \alpha + (r_1 + r_2) \sin^2 \alpha \pm \Delta']$$

$$(E_y / E_x)_{+, -} = [(r_2 r_1 - 1) \cos^2 \alpha - (r_2 - r_1) \sin^2 \alpha \pm \Delta'] / r_1 (1 - r_2) \sin 2\alpha$$

که در این دو رابطه Δ برابر است با :

$$\Delta' = \{[(r_1 r_2 - 1) \cos^2 \alpha + (r_2 - r_1) \sin^2 \alpha]^2 + r_2 (r_1 - 1)^2 \sin^2 2\alpha\}^{1/2}$$

اینکه فرض کنید $1 < < \Psi_2, \Psi_1$ هستند (در عمل نیز مقدار ناهمسانگردی آینه ها بسیار کوچک است [۲]). بنابر این می توان نوشت:

$$r_2 = 1 + i \Psi_2, r_1 = 1 + i \Psi_1$$

که با جایگزینی در رابطه مربوط به تابع ویژه نتیجه می شود:

$$(E_y / E_x)_{+, -} = \frac{-\Psi_1 - \Psi_2 \cos 2\alpha \pm [\Psi_2 + \Psi_1]^2 \cos^2 \alpha + (\Psi_2 - \Psi_1)^2 \sin^2 \alpha}{\Psi_2 \sin 2\alpha}$$

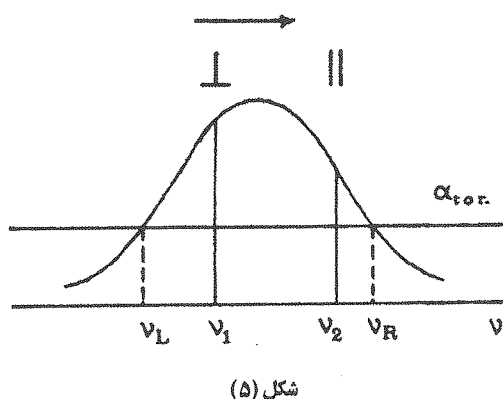
و واضح است که مقدار Δ که به صورت

$$\Delta^2 = (\Psi_2 + \Psi_1)^2 \cos^2 \alpha + (\Psi_2 - \Psi_1)^2 \sin^2 \alpha$$

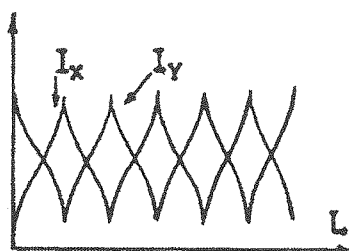
تعريف می شود، ناهمسانگردی مؤثر کل سیستم را نشان می دهد. اگر $\Psi_2 / \Psi_1 = k$ در رابطه (۲) قرار دهیم، به دست می آید:

$$(E_y / E_x)_{+, -} = [-k - \cos 2\alpha \pm (k^2 + 2k \cos 2\alpha + 1)^{1/2}] / \sin 2\alpha \quad (3)$$

$(I_{\text{tot}} = I_Y + I_X)$ و نیز تفاضل $(\Delta I = I_Y - I_X)$ و مجموع (I_Y, I_X) این شدت‌ها، چگونه تغییر می‌کنند [۸]. برای درک کامل تر موضوع، ابتدا یک لیزر همیشه دو مدلی ($\delta v = 2\Omega$) را در نظر بگیرید. بنابر آنچه گفتیم قطبیدگی دو مدل، خطی و بهم عمودند. فرض کنید فرکانس مدها بر اثر تغییر طول لیزر افزایش یابد. در این صورت چنان که از شکل ۵ پیداست تا زمانی که فرکانس مد اول (v_1) به v_0 نرسیده است، بهره برای مد اول رو به افزایش، و برای مد دوم رو به کاهش است. ولی از آن زمان به بعد، بهره برای مدل اول کاهش، و برای مد دوم افزایش می‌یابد. بنابر این همیشه بین شدت‌های ثابت شده برای دو راستای برگزیده، یک اختلاف فاز 180° درجه وجود دارد (شکل ۶).



شکل (۵)

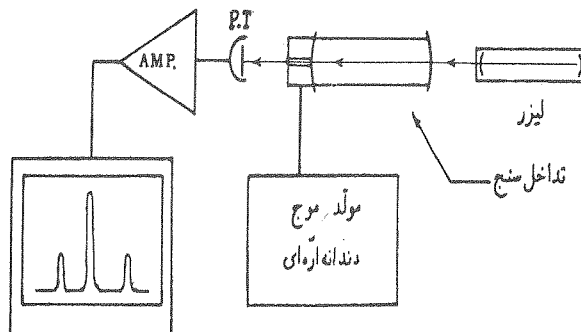


شکل (۶)

در مورد لیزر سه مدلی ما، طبق شکل ۷، می‌توان گفت که رفتار I_X و I_Y در این مورد نیز مشابه حالت لیزر همیشه دو مدلی است، با این تفاوت که با توجه به خواص قطبیدگی مدها، هیچگاه شدت در هر یک از راستاهای برگزیده، صفر نمی‌شود، و بنابر این I_X , I_Y یک مؤلفه DC نیز در مقایسه با شکل ۶، دارند (شکل ۸ - الف).

عوامل مختلفی بستگی دارد و بنابر این به راحتی قابل تعیین نیست. در نتیجه بهترین راه برای یافتن تعداد مدها، آزمایش است، که معمولاً با استفاده از تداخل سنج فابری - پروجکتوری انجام می‌شود.

اگر یکی از آینه‌های تداخل سنج فابری - پرو به طور پی در پی به طرف عقب و جلو حرکت داده شود. (این کار با سوار کردن این آینه روی یک بلور پیزوالکتریک، و اعمال یک ولتاژ دندانه اره‌ای به آن، انجام می‌شود)، در موقوعی که طول کاوک تداخل سنج برای هر مد لیزر در رابطه $L_{FP} = m\lambda/2$ صدق کند، تشخیص در آن مدرخ می‌دهد (m یک عدد صحیح مثبت و λ طول موج مرتبه به مد لیزر است)، که با آشکارسازی نور عبوری از یکی از آینه‌های تداخل سنج و ثبت سیگنال حاصل توسط اسیلوسکوپ (شکل ۴)، قله‌های مشاهده می‌شوند که هر کدام متناظر با یک مد است. گفتنی است که بلندترین و کوتاه‌ترین قله، به ترتیب متناظر با نزدیکترین و دورترین مد به فرکانس مرکزی (در روی خط لیزر) هستند. به این ترتیب تعداد قله‌ها در واقع نشان دهنده تعداد مدهای طولی لیزر می‌باشد.



شکل (۴)

پس از اندازه‌گیری معلوم شد که لیزر مورد استفاده ما بیشتر اوقات دو مدلی است. اما با تغییر طول لیزر در اثر انبساط حرارتی [۶]، در موقوعی که یکی از مدها به فرکانس مرکزی نزدیک می‌شود، وجود مدد سوم نیز نمایان می‌گردد. (رجوع کنید به عکس‌های ۱ و ۲)، بنابراین در مورد این لیزر می‌توان گفت $\delta v < 3\Omega$.

اکنون فرض کنید دو راستای برگزیده ناهمسانگردی لیزر را با محورهای X, Y بر روی مقطع لیزر نمایش دهیم (این راستاهای هنوز تعیین نشده‌اند). می‌خواهیم ببینیم شدت در هر یک از این دو راستای برگزیده

سؤال مطرح می‌شود. ۱ - تغییرات کلی I_{tot} ناشی از چیست؟ ۲ - وجود گودال‌هایی که مراکز آنها با نقاط A مشخص شده‌اند، چگونه توجیه می‌شوند؟ ابتدا باید توجه کرد که نقاط A در روی منحنی مجموع شدت‌ها در زمانی که هر دو مد روی شکل خط لیزر دارای یک بهره هستند، ایجاد می‌شوند. در صورتی که نقاط B به موقعی که یک مد در فرکانس با بهره بیشینه قرار دارد، مربوط می‌شوند. بنابراین اگر وجود گودال‌ها را در نظر نگیریم، به سادگی می‌توان دید که تغییرات کلی I_{tot} در واقع ناشی از این است که آهنگ کاهش شدت در یک راستای برگزیده با آهنگ افزایش شدت در راستای دیگر، هنگامی که مدها روی شکل خط حرکت می‌کنند، برابر نیست.

وجود گودال‌های روی منحنی را با توجه به اثر لمب [۷] می‌توان توجیه کرد. البته اثر لمب در اینجا دقیقاً مشابه آنچه در مورد یک لیزر یک مدی، حول فرکانس مرکزی مطرح است، نیست.

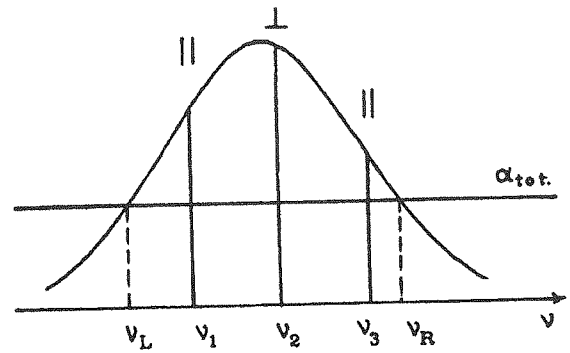
میزان تغییرات I_{tot} برای لیزرهای همیشه دو مدی و نیز لیزرهای سه مدی با اندازه گیری‌هایی که به وسیله ثبت شدت خروجی لیزر با ریکوردر انجام شد، حدود هفت درصد است.

۱-۳- اندازه گیری راستای محورهای برگزیده

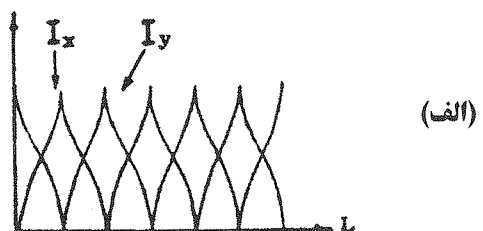
برای یافتن محل محورهای برگزیده به طور دقیق، لوله لیزر هیچ حرکتی در طول آزمایش نباید داشته باشد. از این رو ابتدا یک نگهدارنده لوله لیزر طراحی و ساخته شد. این نگهدارنده شامل دو قسمت متحرک و ثابت است. لوله لیزر در قسمت متحرک ثابت می‌شود. این قسمت با تکیه بر روی قسمت ثابت، بدون آنکه تقارن محوری اش از بین برود، می‌تواند حول محور لوله لیزر بچرخد (کاری که در ضمن اندازه گیری انجام می‌شود). قسمت متحرک بعد از تنظیم که به زودی نحوه انجام آن را خواهیم گفت، با محکم کردن دو پیچ که در ضخامت تکیه گاه‌های آن تعییه شده است، ثابت می‌شود.

ما به دو طریق راستای محورهای برگزیده را مشخص کردیم.

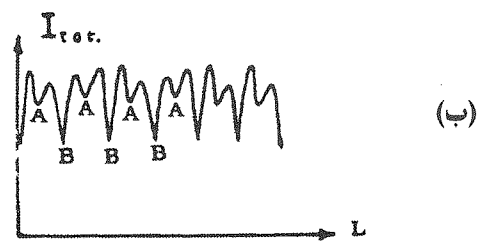
۱- با استفاده از تداخل سنج فابری - پرو: اگر راستای قطبی سازی را موازی با یکی از محورهای X'، Y' که به طور دلخواه روی مقطع لیزر مشخص کرده ایم، قرار دهیم (شکل ۹)، نور لیزر پس از عبور از آن باز هم شامل همه مدهای طولی است. مگر آنکه X'، Y'،



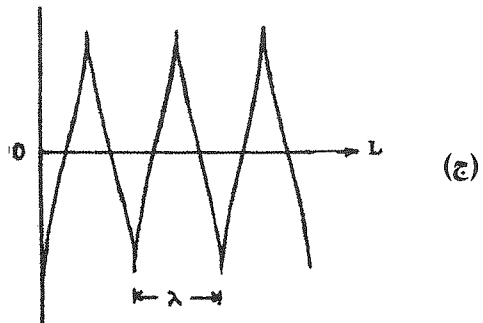
شکل (۷)



(الف)



(ب)



(ج)

شکل (۸)

در شکل ۸، مجموع و تفاضل شدت‌های دو راستای برگزیده نیز آمده است. رفتار مربوط به تفاضل شدت‌ها کاملاً مشخص و منطقی است، اما در مورد مجموع شدت‌ها، که در واقع همان شدت خروجی لیزر است، دو

همچنین فرض کنید که قطبی ساز P در امتداد دلخواهی که با محور X زاویه β می‌سازد، قرار گرفته است. اکنون حالت دیگری را که این قطبی ساز به اندازه 45° نسبت به مکان اولیه اش دوران داده شده است، در نظر می‌گیریم (راستای 'P). اگر شدت پرتوهای قطبیده در این دو حالت را با I_p , I'_p و نیز افت و خیزهای این شدت‌ها را با ΔI_p , $\Delta I'_p$ نشان دهیم می‌توان ثابت کرد که زاویه مجهول β که محورهای برگزیده لیزر را مشخص می‌کند، از رابطه زیر به دست می‌آید:

$$2\beta = \pm \arctan (\Delta I'_p / \Delta I_p) \quad (6)$$

در این رابطه درستی + و - یا - از طریق آزمایش معلوم می‌شود.

برای اثبات این رابطه ابتدا شدت‌های I_p , I'_p را با توجه به قانون مالوس به صورت زیر می‌نویسیم:

$$I_p(t) = \eta [I_x(t) \cos^2 \beta + I_y(t) \sin^2 \beta]$$

$$I'_p(t) = \eta [I_x(t) \cos^2(\beta + \pi/4) + I_y(t) \sin^2(\beta + \pi/4)]$$

با استفاده از روابط مثلثاتی و با در نظر گرفتن $\Delta I = I_y - I_x$, $I_{tot} = I_y + I_x$ نتیجه می‌شود (η ضریب عبور یا تراگسیلندگی قطبی ساز است):

$$I_p(t) = \eta I_{tot}(t) / 2 - (\eta \Delta I(t) / 2) \cos 2\beta$$

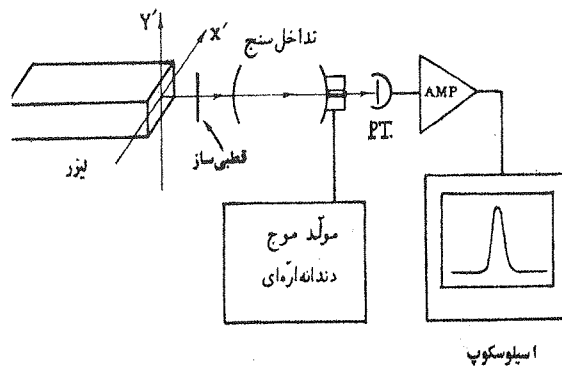
$$I'_p(t) = \eta I_{tot}(t) / 2 + (\eta \Delta I(t) / 2) \sin 2\beta$$

اما با حذف ΔI از دو رابطه اخیر به دست می‌آید:

$$I'_p(t) = \eta I_{tot}(1 + \tan 2\beta) / 2 - I_p(t) \tan 2\beta \quad (7)$$

چون تغییرات I_{tot} بنا بر آنچه گفتیم، در لیزرهای سه مدی حدود 7٪ است، بنا بر این آن را در مقایسه با $I_p(t)$ با تقریب خوبی می‌توان ثابت در نظر گرفت. که با این فرض رابطه (6) به سادگی از رابطه (7) نتیجه می‌شود. در تعیین محورهای برگزیده از این طریق ابتدا برای سهولت، راستای P را منطبق بر محور Y در نظر گرفتیم و به منظور اندازه‌گیری مراکزیم تغییرات I'_p , I_p نسبت به زمان، چون زمان تناوب این تغییرات بسیار بزرگ است (از چند ثانیه تا چند دقیقه)، از یک ریکوردر استفاده کردیم. برای تبدیل شدت نور عبور کرده از قطبی ساز در هر یک از دو راستای p, p' به یک سیگنال

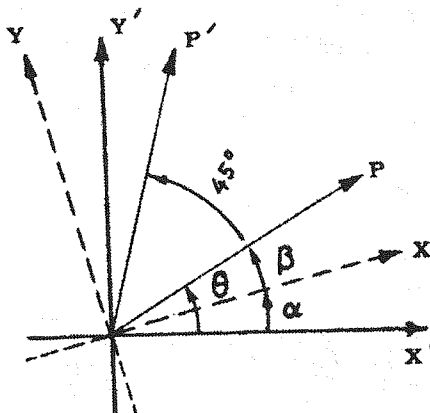
دقیقاً بر روی محورهای برگزیده لیزر قرار گرفته باشند، که در این صورت یک یا دو مدار سه مدار حذف می‌شود و بنابر این بر روی صفحه اسیلوسکوپ نیز فقط یک یا دو قله از سه قله دیده خواهد شد.



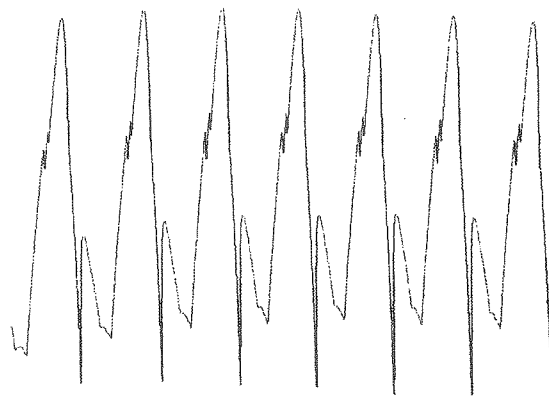
شکل (۹)

در حالت کلی با چرخاندن لوله لیزر حول محورش (یا کمک قسمت متحرک نگهدارنده) همیشه می‌توان یکی از محورهای برگزیده را در راستای قطبی ساز قرار داد. با استفاده از این روش با تکرار آزمایش به دفعات زیاد، با خطای کمتر از $\pm 5^\circ$ راستای محورهای برگزیده را تعیین کردیم. هر چه ضریب تقویت y-input اسیلوسکوپ و نیز توان تفکیک تداخل سنج فابری-پرو بیشتر باشد، دقت اندازه‌گیری بیشتر است.

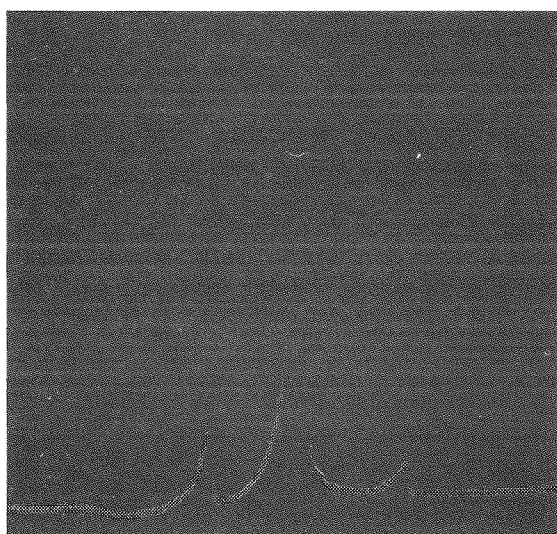
۲ - از طریق دوران قطبی ساز و ثبت تغییرات شدت به وسیله ریکوردر: فرض کنید دستگاه مختصات منطبق بر محورهای برگزیده X, Y, Z با دستگاه مختصات X', Y', Z' که روی سطح مقطع لیزر در نظر گرفته می‌شود (شکل ۹)، زاویه α بسازد (شکل ۱۰).



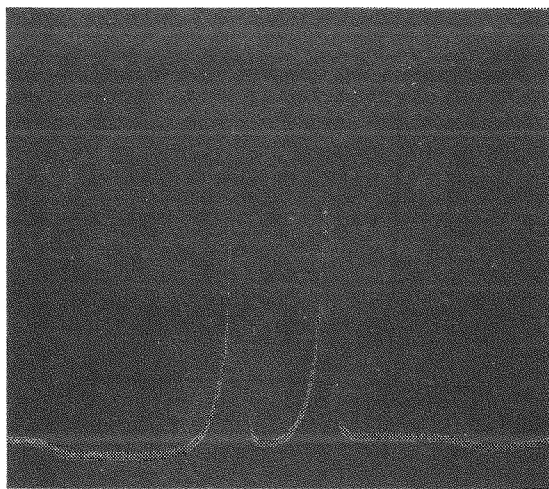
شکل (۱۰)



شکل (۱۲) تغییرات I' نسبت به زمان.



نمایش مدهای لیزر در حالت سه مدی.



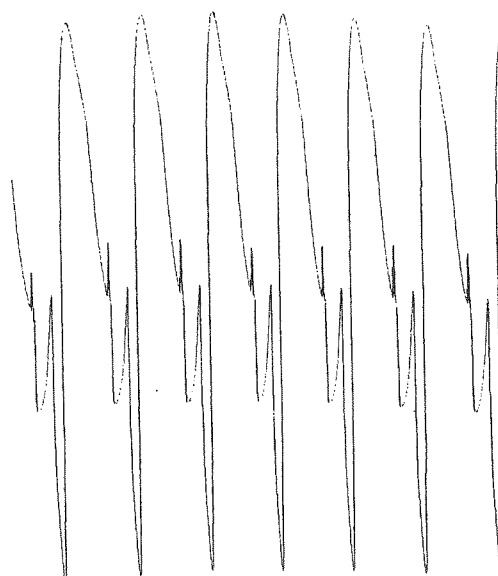
نمایش مدهای لیزر در حالت دو مدی

قابل استفاده برای ریکوردر، از فوتوفرانزیستور و یک تقویت کننده استفاده شد.

این آزمایش را چند بار با قرار دادن قطبی ساز در راستاهای مختلف p , p' تکرار کرده و از رابطه (۶) مقدار β را به دست آوردم. (شکل های ۱۱ و ۱۲ یک نمونه از اندازه گیری ها را نشان می دهند). مقایسه نتایج حاصل از این اندازه گیری ها، نشان داد که دقیقتر از این طریق با آنچه با استفاده از تداخل سنج به دست آمد، از یک مرتبه است.

ع - نتیجه گیری

باتوجه به مطالب فوق می توان نتیجه گرفت که حتی در بهترین شرایط، همیشه ناهمسانگردی هر چند ناچیز وجود دارد. در حالت کلی چنان که در اثبات نظری خواص قطبیدگی مدها گفته شد که بودن میزان ناهمسانگردی نیازی است که محاسبات را در تقریب اول به نتیجه مطلوب می رساند. اگر نور خروجی لیزر را از یک منشور ولاستون که دو پرتو نوری قطبیده خطی و عمود بر هم را از یکدیگر تفکیک می کند، عبور دهیم، می توان شدت های I_x , I_y را به طور جداگانه مورد مطالعه قرار داد. یکی از مواردی که اهمیت این ویژگی ها را مشخص می کند، استفاده از I_x , I_y و نیز ΔI در پایدارسازی فرکانس لیزر های هلیوم - نئون [۸] و نیز اندازه گیری مقدار پایدارسازی فرکانس آنهاست که می تواند در جای خود مورد بحث قرار گیرد.



شکل (۱۵) تغییرات I' نسبت به زمان.

مراجع

- [1] R. M. A. Azzam, N. M. Bashara, "Ellipsometry & Polarised light", North-Holland (1977).
- [2] W. Winkler, A. Rudiger, R. Schilling, K. A. Strain, K. Danzmann, "Birefringence-Induced Losses in Interferometers", opt. comm. 112, 245 (1994).
- [3] T. Toshino, "Reflection Anisotropy of 6328 Å Laser Mirrors" , Jap. J. Appl. Phys. 18, 1503 (1979).
- [4] M. Born, E. Wolf, "Principles of optics", Pergamon press (1975).
- [5] J. T. Verdeyen, "Laser Electronics", Prentice-Hall (1981).
- [6] G. A. Woolsey, M. Y. Sulaiman, M. Mokhsim, "Correlation of changes in laser tube Temperature, Cavity Length, and Beam Polarization for an Internal Mirror He-Ne Laser", Am. J. Phys. 50 (1982) 936.
- [7] W. E. Lamb, Jr., "Theory of an Optical Maser", phys. Rev. 134, A1429 (1964)
- [8] G. Mas, H. Blancher, G. Roig, "Light Intensity of the Fundamental TEM00 Mode of a He-Ne Gas Laser Without Brewster Windows: Achievement of a Polarized Rectilinear Laser Beam of Stable Intensity", Appl. Opt. 13 (1974) 2771.